



**«ԻՆՏԵՐԱԿՏԻՎ ԿՐԹՈՒԹՅԱՆ
ԶԱՐԳԱՑՈՒՄ»
ՀԻՄՆԱԴՐԱՄ**



**ՀԵՐԹԱԿԱՆ ԱՏԵՍՏԱՎՈՐՄԱՆ ԵՆԹԱԿԱ
ՈՒՍՈՒՑԻՉՆԵՐԻ ՎԵՐԱՊԱՏՐԱՍՏՄԱՆ
ԴԱՍԸՆԹԱՑ 2022**

ՀԵՏԱԶՈՏԱԿԱՆ ԱՇԽԱՏԱՆՔ

ԹԵՄԱ	Դեմկով-Կունիկեի մոդելը ատոմական	Բոզե-
Էյնշտեյնյան կոնդենսատների մագնիսա- և ֆոտո-ասոցիացիայում		
ԱՌԱՐԿԱ	Ֆիզիկա	
ՀԵՂԻՆԱԿ	Գոհար Մարգարյան	
ՄԱՐԶ	Արմավիր	
ՈՒՍՈՒՄՆԱԿԱՆ ՀԱՍՏԱՏՈՒԹՅՈՒՆ	Վաղարշապատի Խ. Աբովյանի անվան թիվ 4 հ/դպրոց	

Բովանդակություն

Ներածություն.....	3
Կիսադասական երկվիճակ խնդիր: Դեմկով-Կունիկեի մոդել.....	5
Հաշվարկն ու արդյունքները.....	8
Ատոմական բոզե-կոնդենսատների երկմոդ ֆոտոասոցիացիայի ուժեղ ոչգծային ռեժիմներ.....	12
Ամփոփում և եզրակացություն.....	20
Գրականության ցանկ.....	21

Տոտո- կամ մագնիսական ասոցիացիայի միջոցով Բոզե-Էյնշտեյնյան կոնդենսատներում և վերասերված Ֆերմի-գազերում նախապես առկա գերսառն աստումներից սառը մոլեկուլների ստացումը վերջին տարիներին նկատելի հետաքրքրության է արժանացել (տես, օրինակ, [1,2] և դրանցում բերված հղումները): Տեսականորեն, այս բնագավառում առաջացող խնդիրներից մեկը՝ ժամանակային կախում ունեցող օպտիկական և մագնիսական դաշտերով ոչգծային քվանտային համակարգերում ոչադիաբատ անցումների արդյունավետ կառավարումն է [3,4]:

Այս հարցը ուսումնասիրելու նպատակով դիտարկվել են իմպուլսների մի քանի կոնֆիգուրացիաներ: Պարզագույն և լայն տարածում ստացած մոդելը Լանդաու-Ջեների կոնֆիգուրացիան է [5,6] (որը ենթադրում է փոխազդող դաշտի հաստատուն ամպլիտուդ և էներգետիկ մակարդակների գծային հատում): Օգտվելով այս մոդելից, ինչպես գծային, այնպես էլ ոչգծային դինամիկաների համատեքստում ուսումնասիրված են ոչադիաբատ անցումների բազմաթիվ որակական, և քանակական բնութագրեր (տե՛ս, օրինակ, [3-18]): Սակայն, այս մոդելը ֆիզիկայի տեսանկյունից ունի մի քանի թերություն. դաշտը երբեք չի անջատվում, մոդելը ենթադրում է դաշտի էներգիայի անսահման աճ, երբ $t \rightarrow \pm\infty$, իսկ ապալարքը ժամանակի ողջ ընթացքում փոփոխվում է խստորեն գծային օրենքով: Եվ չնայած նրան, որ այս մոդելը լավ մոտեցում է հանդիսանում ռեզոնանսի հատման կետի շրջակայքում, ֆիզիկորեն այն իրագործելի չէ: Ուստի, նշված թերություններից զերծ մոդելների դիտարկումը կարևոր է քվանտային համակարգի վարքի ավելի իրական պատկերացումներ ստանալու համար:

Այդպիսի մի մոդել է Դեմկով-Կունիկեի առաջին մոդելը [19,20], որը հանդիսանում է վերջավոր տևողությամբ իմպուլս և ռեզոնանսի գրեթե գծային անցում ունեցող դաշտի կոնֆիգուրացիայի փորձնականորեն իրագործելի տարբերակ: Սա բազմազան հնարավորություններով հարուստ մոդել է, որն աչքի է ընկնում Լանդաու-Ջեների մոդելում բացակայող մի քանի առանձնահատկություններով: Օրինակ, խիստ ոչգծային պայմաններում սառն աստումների ֆոտոասոցիացիայի տիպիկ հնարավոր դեպքերը քննարկելիս՝ ցույց է տրված, որ, ընդհանուր դեպքում, գոյություն ունեն երկու որակապես տարբեր ռեժիմներ [21,22]: Հաճախության մեծ ապալարքների և դաշտի բարձր ինտենսիվությունների դեպքում

մոլեկուլի ձևավորման պրոցեսը տեղի է ունենում ատոմական և մոլեկուլային բնակեցվածությունների միջև տեղի ունեցող, միայն թույլ արտահայտված տատանումների տեսքով, այնինչ մյուս՝ ապալարքը փոքր լինելու դեպքում, համակարգը բնակեցվածությունների միջև դրսևորվում է Ռաբիի տիպի մեծ ամպլիտուդով տատանումներ [21,22]: Հարկ է ընդգծել, որ Լանդաու-Չեների մոդելի պարագայում այս երկու ռեժիմներից միայն մեկն է առկա. այդ դեպքում համակարգի զարգացումը ընդհանում է ըստ թույլ տատանողական սցենարի:

Մենք քննարկում ենք մոլեկուլի ձևավորման հավանականությունը $t \rightarrow +\infty$ սահմանում: Մենք դուրս ենք բերում խորանարդային բազմանդամային մի հավասարում, որը կիրառելի է Ռաբիի հաճախության կամայական արժեքի դեպքում, եթե փոխազդեցության ընթացքում պահպանվում է մեծ ապալարքի ռեժիմը: Այս հավասարումը ցույց է տալիս, որ, ի տարբերություն գծային դեպքի, ոչգծային դեպքում ռեզոնանսի հատման Դեմկով-Կունիկեի սխեմայով իրականացվող պրոցեսով անհնար է բոլոր ատոմներն ամբողջությամբ մոլեկուլների փոխակերպել:

Թեմայի նպատակն է՝ որոշել սառն ատոմական բոզե-կոնդենսատներում ֆոտոասոցիացիայի եղանակով մոլեկուլների ձևավորման հավանականությունը՝ փոխազդեցության ինչպես ուժեղ, այնպես էլ թույլ տատանողական ռեժիմներում:

Հիմնական խնդիրներն են.

- ✓ Դիտարկել ասոցիացիայի թույլ արտահայտված տատանողական ռեժիմը
- ✓ Դիտարկել ասոցիացիայի ուժեղ արտահայտված տատանողական ռեժիմը
- ✓ Դուրս բերել անցման հավանականության հավասարումներ երկու ռեժիմների համար
- ✓ Որոշել անցման հավանականության $t \rightarrow +\infty$ սահմանը:
Աշխատանքի նորույթն այն եզրակացությունն է, որ՝
- ✓ Դեմկով-Կունիկեի սխեմայով իրականացվող պրոցեսով անհնար է բոլոր ատոմներն ամբողջությամբ մոլեկուլների փոխակերպել:
*Աշխատանքը կազմված է՝ ներածությունից, երեք գլուխներից, եզրակացությունից և գրականության ցանկից: Աշխատանքում կա 7 նկար և 29 հղում: Առաջին գլխում ներկայացված է կիսադասական երկվիճակ խնդիրը և Դեմկով-Կունիկեի մոդելը:
Երկրորդ գլխում դիտարկված է հաշվարկի մաթեմատիկական ապարատը:
Երրորդ գլխում դիտարկված է ֆոտոասոցիացիայի ուժեղ ոչգծային դեպքերը՝ ինչպես ուժեղ, այնպես էլ թույլ արտահայտված տատանողական ռեժիմներում:
Վերջում կատարված է ամփոփում և եզրակացություն:*

1. Կիսադասական երկվիճակ խնդիր: Դեմկով-Կունիկեի մոդել

Ոչգծային քվանտային համակարգերում ոչադիաբատ անցումներ դիտարկելու համար ընդունելի մոտարկում է հանդիսասանում կիսադասական երկվիճակ խնդիրը: Վերջին տասնամյակների ընթացքում՝ կապված, օրինակ, ոչգծային օպտիկայում երկրորդ հարմոնիկի գեներացման, Բոզե-կոնդենսատների փոխազդեցության ֆիզիկայի, Բոզե-կոնդենսատներում և վերասերված Ֆերմի գազերում սառնատոմների ասոցիացիայի և այլ խնդիրների հետ, ձևավորվել և քննարկվում են հայտնի գծային երկվիճակ խնդրի մի քանի տարբեր ոչգծային ընդլայնումներ: Մենք դիտարկում ենք երկվիճակ խնդրի հիմնական ընդլայնումը՝ *քառակուսային ոչգծայնություն* տարբերակը [23-25], որն ընդհանուր է դաշտի 2:1 Ֆերմի-ռեզոնանս ընդգրկող տեսությունների համար.

$$i \frac{da_1}{dt} = U(t)e^{-i\delta(t)} \bar{a}_1 a_2, \quad i \frac{da_2}{dt} = \frac{U(t)}{2} e^{+i\delta(t)} a_1 a_1. \quad (1.1)$$

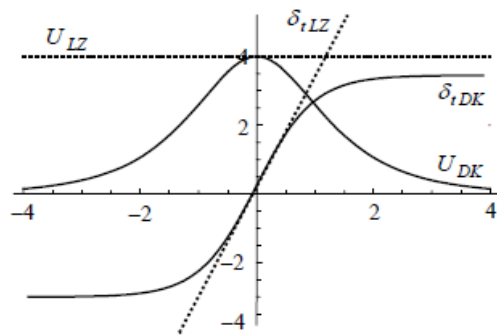
Ատոմական Բոզե-կոնդենսատի ֆոտոասոցիացիայի համատեքստում՝ սա Գրոս-Պիտանսկու միջինացված դաշտի փոխկապակցված ոչգծային հավասարումների մի մոդելային համակարգ է, որն ատոմական և մոլեկուլային կոնդենսատները նկարագրում է որպես դասական դաշտեր: Այստեղ a_1 -ը և a_2 -ը ատոմական և մոլեկուլային վիճակների հավանականությունների ամպլիտուդներն են, $U(t)$ -ն ատոմներից մոլեկուլներ կազմավորող լազերային դաշտի Ռաբիի հաճախությունն է, $\delta(t)$ -ն ապալարքի մոդուլացման ֆունկցիան է, որը սահմանվում է որպես լազերային հաճախության և «2ատոմ \rightarrow 1մոլեկուլ» անցման հաճախության միջև եղած δ , տարբերության (ապալարքի) ինտեգրալ:

Քննարկվող Դեմկով-Կունիկեի մոդելն ունի հետևյալ տեսքը [19,20]

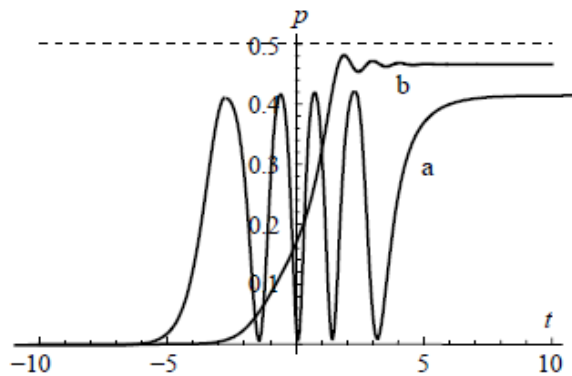
$$U(t) = U_0 \operatorname{sech}(t), \quad \delta_r(t) = 2\delta_0 \tanh(t). \quad (1.2)$$

Դաշտի այս կոնֆիգուրացիան բնորոշվում է զանգակաձև լազերային իմպուլսով, որի վերջավոր տիրույթում փոփոխվող ապալարքը ժամանակի $t=0$ պահին, երբ $\delta_r = 0$ (գծ.1.1), գրեթե գծայնորեն հատում է ռեզոնանսը: Այս մոդելը նախկինում քննարկվել է մի քանի աշխատություններում: Մոդելի թույլ փոխազդեցության սահմանը, որը համապատասխանում է Ռաբիի հաճախության փոքր արժեքներին, քննարկված է [26,27]-ում: Կիրառելով Պիկարի հաջորդական մոտարկումները Վոլտերայի մի

ճշգրիտ ոչգծային ինտեգրալային հավասարման նկատմամբ [26], կամ էլ մի հատուկ վարիացիոն մոտեցում, որն ընդգրկում է ոչգծային խնդրի հետ փոխկապակցված գծային խնդրի լուծումը [27], փոխազդեցության վերջում, երբ $t \rightarrow +\infty$, մոլեկուլային վիճակին անցնելու հավանականության համար ստացվել են մոտավոր անալիտիկ արտահայտություններ: Ուժեղ կապի սահմանը, որը համապատասխանում է Ռաբիի հաճախության մեծ արժեքներին, դիտարկված է [21,22,28,29]-ում: [21,22]-ում ցույց է տրված, որ փոխազդեցության այս սահմանն ինքնին ստորաբաժանվում է երկու տարբեր ռեժիմների, որոնք համապատասխանում են ռեզոնանսի դանդաղ և արագ հատումներին (այսինքն, համապատասխանաբար, փոքր և մեծ ապալարքներին): Երբ ռեզոնանսի անցումը դանդաղ է ($\delta_0 < 1$), համակարգը դրսևորում է մեծ անալիտոդով Ռաբիի տիպի տատանումներ ատոմական և մոլեկուլային վիճակների բնակեցվածությունների միջև (գծ.1.2, a):



Գծ. 1.1. Դեմկով-Կունիկելի կոնֆիգուրացիան (կետազծերը՝ Լանդաու-Չենների մոդելը)



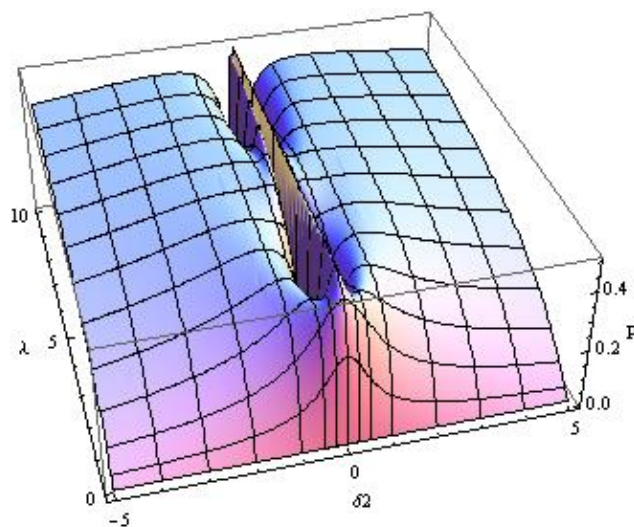
- Գծ. 1.2. Անցման հավանականության ժամանակային կախումը.
- a) ուժեղ կապի սահմանի փոքր ապալարքի ռեժիմ ($U_0 = 8, \delta_0 = 0.1$),
 - b) ուժեղ կապի սահմանի մեծ ապալարքի ռեժիմ ($U_0 = 8, \delta_0 = 8$):

Հակառակ ռեժիմում, այսինքն, ռեզոնանսի բավականաչափ արագ հատման դեպքում ($\delta_0 > 1$) նշված երկու վիճակների միջև տեղի են ունենում միայն թույլ, մարող տատանումներ (գծ.1.2, b):

Փոխազդեցության այս երկու խիստ ոչգծային ռեժիմներում, որոնք ի հայտ են գալիս փոքր և մեծ ապալարքների դեպքերում, անցման հավանականության ասիմպտոտիկ արժեքները ($t \rightarrow +\infty$ սահմանում) դրսևորում են իրարից որակապես տարբերվող կախվածություն խնդրի U_0 և δ_0 մուտքային պարամետրերից: Մա արտացոլված է գծ. 1.3-ում: Երևում է, որ փոքր $\delta_0 < 1$ արժեքների դեպքում $p(+\infty, U_0)$ կախվածությունը տատանողական է, մինչդեռ մեծ ապալարքի ($\delta_0 > 1$) դեպքում կախվածությունը գրեթե մոնոտոն է:

Մեծ ապալարքի ռեժիմում ուժեղ փոխազդեցության սահմանը ուսումնասիրված է [28, 29]-ում: [28]-ում կառուցված է մեր երկվիճակ ոչգծային խնդրի մոտավոր լուծումներից մեկը, որը հանդիսանում է մի առաջին կարգի ոչգծային դիֆերենցիալ հավասարման լուծումը և պարունակում է *fitting* պարամետր, վերջինս որոշվում է վարիացիոն եղանակի կիրառմամբ:

Սակայն այս մոտավորությունը բաց է թողնում մոլեկուլների կազմավորման մի քանի կարևոր առանձնահատկություններ, օրինակ, ատոմական և մոլեկուլային բնակեցվածությունների միջև տեղի ունեցող կոհերենտ տատանումները, որոնք գրգռվում են այն բանից հետո, երբ համակարգը անցում է ռեզոնանսով:



Գծ. 1.3. Անցման վերջնական ($t \rightarrow +\infty$ սահմանում) հավանականության կախվածությունը δ_0 և $\lambda = U_0^2$ մուտքային պարամետրերից:

Շարունակելով զարգացնել կիրառված մոտեցումը, [29]-ում կառուցվել է հաջորդ կարգի մոտավորությունը՝ օգտագործելով նախորդ լուծումը որպես զրոյական մոտավորություն: Արդյունքում ստացված երկթերմ մոտավորությունը, որն այս անգամ արդեն ի գործ է նկարագրել հիշատակված տատանումները, պարունակում է ևս երկու *fitting* պարամետր, որոնց հաջողվում է որոշել համադրելով անալիտիկ և թվային մեթոդները: Եզրափակելով ասենք, որ ներգրավված վարիացիոն պարամետրերի համար առաջարկված են ընդհանուր անալիտիկ մոտարկումներ: Նման կերպ ընտրելով պարամետրերը, մոտավորության կառուցման ընթացակարգը մեծ ապալարքի ռեժիմի դեպքերում դառնում է կիրառելի հավասարապես թե՛ թույլ, թե՛ միջին, և թե՛ ուժեղ կապերով պրոցեսների համար:

Ներկա աշխատանքում խնդիրը դիտարկվում է կիրառելով մեկ այլ մոտեցում, որի հիմքում ոչգծային համակարգի ասիմպտոտիկ, այսինքն, $t \rightarrow +\infty$ սահմանում վարքի վերլուծությունն է և ապա այն համապատասխան գծային լուծման ասիմտոտիկ վարքի հետ համեմատելը: Այս մոտեցումը թույլ է տալիս աստմներից մոլեկուլների ստացման արդյունավետությունը գնահատելու համար դուրս բերել մի խորանարդային բազմանդամային հավասարում: Հավասարումն իր կառուցվածքով պարզ է և, իբրև պարամետր, պարունակում է համապատասխան գծային խնդրում արդեն իսկ ստացված անցման հավանականությունը: Առաջարկված խորանարդային հավասարման արմատը ճշգրտության մեկ կարգով բարելավում է նախկինում ստացված արդյունքը:

2. Հաշվարկն ու արդյունքները

[21,22] աշխատանքներում ցույց է տրված, որ մոլեկուլային վիճակի $p = |a_2|^2$ հավանականության ժամանակային դինամիկան նկարագրվում է հետևյալ ճշգրիտ ոչգծային սովորական երրորդ կարգի դիֆերենցիալ հավասարմամբ

$$\left(\frac{d}{dt} - \frac{1}{\delta_i} \frac{d\delta_i}{dt} \right) \left[\frac{1}{U} \frac{d}{dt} \left(\frac{1}{U} \frac{dp}{dt} \right) - \frac{1}{2} (1 - 8p + 12p^2) \right] + \delta_i^2 \frac{dp}{dt} = 0. \quad (2.1)$$

Նշանակելով

$$F = \frac{1}{U} \frac{d}{dt} \left(\frac{1}{U} \frac{dp}{dt} \right) - \frac{1}{2} (1 - 8p + 12p^2), \quad (2.2)$$

արտագրենք սկզբնական հավասարումը հետևյալ տեսքով՝

$$\frac{d}{dt} \left(\frac{F}{\delta_t} \right) + \delta_t \frac{dp}{dt} = 0 \quad (2.3)$$

կամ
$$\frac{F}{\delta_t} + \int \delta_t \frac{dp}{dt} dt = 0. \quad (2.4)$$

Մյուս կողմից, F / δ_t -ով բազմապատկելուց հետո, (2.3) հավասարումը դառնում է

$$\frac{F}{\delta_t} \frac{d}{dt} \left(\frac{F}{\delta_t} \right) + F \frac{dp}{dt} = 0. \quad (2.5)$$

Այսպիսով,
$$\left(\frac{F}{\delta_t} \right)^2 + 2 \int F \frac{dp}{dt} dt = 0. \quad (2.6)$$

Այժմ, համադրելով (2.4) և (2.6) բանաձևերը, կստանանք

$$2 \int F dp = \left(\int \delta_t \frac{dp}{dt} dt \right)^2. \quad (2.7)$$

Հավասարման ձախ կողմում իրականացնելով պարզ ինտեգրում, ստանում ենք

$$\left(\frac{1}{U} \frac{dp}{dt} \right)^2 - p(1 - 2p)^2 = \left(\int \delta_t \frac{dp}{dt} dt \right)^2. \quad (2.8)$$

Այս ինտեգրալ-դիֆերենցիալ հավասարումը հանդես է գալիս որպես հիմք հետագա մշակման համար:

Հաջորդ քայլով մենք ուսումնասիրում ենք կախյալ փոփոխականների $|a_{1L}|^2 + |a_{2L}|^2 = I$ նորմավորմամբ և փոխված Ռաբիի $U_1(t)$ հաճախականությամբ օժանդակ մի գծային խնդիր (համեմատել (1.1), (1.2) հավասարումների հետ)

$$i \frac{da_{1L}}{dt} = U_1(t) e^{-i\delta(t)} a_{2L}, \quad (2.9)$$

$$i \frac{da_{2L}}{dt} = U_1(t) e^{+i\delta(t)} a_{1L}. \quad (2.10)$$

Այս համակարգի երկրորդ վիճակի $p_L = |a_{2L}|^2$ հավանականությունը բավարարում է հետևյալ հավասարմանը (համեմատել (2.1) հավասարման հետ)

$$\left(\frac{d}{dt} - \frac{1}{\delta_t} \frac{d\delta_t}{dt} \right) \left[\frac{1}{U_1} \frac{d}{dt} \left(\frac{1}{U_1} \frac{dp_L}{dt} \right) - \frac{1}{2} (4I - 8p_L) \right] + \delta_t^2 \frac{dp_L}{dt} = 0. \quad (2.11)$$

Վերջին հավասարումից մենք ստանում ենք մեկ այլ հավասարում, որը (2.9)-(2.10) գծային խնդրի համար հանդիսանում է (2.8) հավասարման նմանակը (անալոգը):

$$\left(\frac{1}{U_1} \frac{dp_L}{dt}\right)^2 - p_L(4I - 4p_L) = \left(\int \delta_t \frac{dp_L}{dt} dt\right)^2. \quad (2.12)$$

Ոչգծային խնդրի նորմավորման $|a_1|^2 + 2|a_2|^2 = 1$ պայմանին բավարարելու համար մենք ընտրում ենք $I = 1/2$, հետևաբար, $|a_{2L}|^2 \in [0, 1/2]$: Այնուհետև տեղադրում ենք $U_1(t) = C_0 U(t)$ և դիտարկում մի հատուկ գծային խնդիր, որը բավարարում է ոչգծային խնդրի սկզբնապայմաններին և, բացի այդ, պրոցեսի $t \rightarrow +\infty$ սահմանում, տալիս է անցման այն նույն $p_L(+\infty) = p(+\infty)$ հավանականությանը, որին գալիս է նաև ոչգծային խնդիրը: Վերջին պայմանը առաջացնում է սահմանային արժեքի խնդիր, որի սեփական արժեքով որոշվում է C_0 -ի համապատասխան արժեքը: Հիմա հասկանալի է, որ ոչգծային և այդ օժանդակ գծային լուծումների ասիմպտոտները նույնն են:

Այժմ դիտարկենք անցման հավանականությունը $t \rightarrow +\infty$ սահմանում: Քանի որ $p_L(+\infty) = p(+\infty) \equiv p_{\text{inf}}$, ապա, (2.12) հավասարումը (1.2)-ի վրա բաժանելով և հանելով (2.8) հավասարումը, կստանանք

$$2p_{\text{inf}}^2(1 - 2p_{\text{inf}}) = \left\{ \left(\left(\int_{-\infty}^t \delta_t \frac{dp}{dt} dt \right)^2 - \frac{1}{2} \left(\int_{-\infty}^t \delta_t \frac{dp_L}{dt} dt \right)^2 \right) - \left(\left(\frac{1}{U} \frac{dp}{dt} \right)^2 - \frac{1}{2} \left(\frac{1}{U_1} \frac{dp_L}{dt} \right)^2 \right) \right\} \Bigg|_{+\infty} \quad (2.13)$$

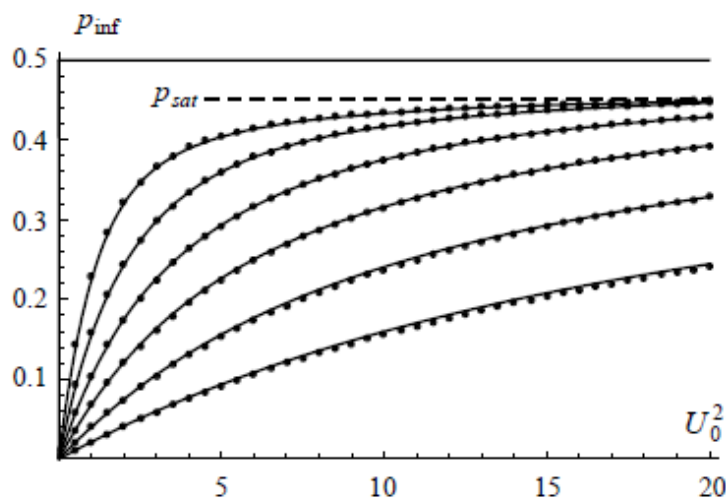
Քանի որ ոչգծային $p(t)$ լուծումը և օժանդակ $p_L(t)$ գծային լուծումը ունեն միևնույն ասիմպտոտները $t \rightarrow +\infty$ սահմանում, ապա կարելի է ակնկալել, որ հավասարման աջ կողմը փոքր է: Մյուս կողմից, այն ուղիղ համեմատական է $1/U_0^2$ -ին: Ուստի, $U_0^2 \rightarrow 0$ սահմանում՝ այսինքն, դաշտի ինտենսիվության անհետացման հետ մեկտեղ այն կտարամիտի, եթե չլինի ուղիղ համեմատական $(p_{\text{inf}} - p_L/2)$ -ին: Սրա պատճառն այն է, որ նշված սահմանում $p_{\text{inf}} \sim p_L/2$ [12]: Ընդգծենք, որ դիտարկվող հատուկ գծային լուծման համար կիրառված է $I = 1/2$ նորմավորումը: Այնպես որ, $p_L/2 = p_{DK}/4$, որտեղ p_{DK} -ն՝ $I = 1$ նորմավորմամբ Դեմկով-Կունիկեյի գծային խնդրի ծանոթ լուծումն է.

$$p_{DK} = 1 - \cos^2\left(\pi\sqrt{U_0^2 - \delta_0^2}\right) \text{sech}^2(\pi\delta_0). \quad (2.14)$$

Այսպիսով, պրոցեսի վերջում անցման հավանականությունը փնտրելիս՝ մենք հանգում ենք հետևյալ խորանարդային հավասարմանը.

$$2p_{\text{inf}}^2(1 - 2p_{\text{inf}}) = \frac{a}{U_0^2} \left(p_{\text{inf}} - \frac{P_{DK}}{4} \right), \quad (2.15)$$

որտեղ a -ն $O(1)$ -ի կարգի հաստատուն է: Սա բավական կատարյալ մոտավորություն է: Թվային մոդելավորումը ցույց է տալիս, որ այս հավասարման արմատն անցման հավանականության ասիմպտոտիկ արժեքը $t \rightarrow +\infty$ -ում նկարագրում է 10^{-4} ճշգրտությամբ: Այս արդյունքը մեկ կարգով բարելավում է նախորդ (տես [29]) անալիտիկ մոտավորության ճշգրտությունը: Համեմատման կարգով, այս լուծմանը համապատասխանող գրաֆիկները թվային արդյունքի հետ մեկտեղ, բերված են [գծ.1.4](#)-ում, որտեղ՝ տարբեր $\delta_0 > 1$ արժեքների համար, ներկայացված են [գծ.1.3](#)-ի իրար հաջորդող հատվածները: Այս գրաֆիկներից բխող մի կարևոր դիտողությունն այն է, որ անցման հավանականությունը ոչգրոյական δ_0 -ի դեպքերում երբեք չի հասնում $1/2$ -ի, այլ սահմանափակված է $p = p_{\text{sat}} < 1/2$ սահմանային արժեքով: Այսպիսով, ի տարբերություն գծային խնդրի դեպքի, Դեմկով-Կունիկեի սխեմայով ընթացող ռեզոնանսի հատման ոչգծային խնդրում ատոմների ամբողջովին անցումը մոլեկուլային վիճակի անհնար է:



Գծ. 1.4. Անցման հավանականության ասիմպտոտիկ ($t \rightarrow +\infty$) արժեքների կախվածությունը U_0^2 -ից $\delta_0 = 2; 3.5; 6; 10; 18; 35$ դեպքերում (ձախից աջ): Կետերը ներկայացնում են թվային արդյունքները, հոծ գիծը՝ (2.15) հավասարման արմատն է: Անցման ոչգծային հագեցումը պատկերված է $p = p_{\text{sat}}$ կետագծով:

3. Ատոմական բոզե-կոնդենսատների երկմոդ ֆոտոասոցիացիայի ուժեղ ոչգծային ռեժիմներ

Այս բաժնում ուսումնասիրում ենք ատոմական Բոզե-Էնշտեյնյան կոնդենսատի և լազերի օպտիկական դաշտի կոհերենտ փոխազդեցության ընթացքում մոլեկուլի ձևավորման դինամիկան: Դիտարկվում է միագույն երկմոդ ֆոտոասոցիացիայի հիմնական դեպքը, որը նկարագրվում է ատոմական և մոլեկուլային կոնդենսատները դասական դաշտերի տեսքով ներկայացնող՝ առաջին կարգի փոխկապված ոչգծային հավասարումների հետևյալ համակարգով [1]

$$i \frac{da_1}{dt} = U e^{-i\delta} \bar{a}_1 a_2, \quad i \frac{da_2}{dt} = \frac{U}{2} e^{+i\delta} a_1 a_1 \quad (3.1)$$

Այստեղ a_1 և a_2 -ը՝ համապատասխանաբար, ազատ ատոմական և կապված մոլեկուլային վիճակների ամպլիտուդներն են, \bar{a}_1 -ը a_1 -ի կոմպլեքս համալուծն է, $U(t)$ -ը Ռաբիի հաճախությունն է, իսկ $\delta(t)$ -ը ապալարքի մոդուլյացիոն ֆունկցիան է, որը սահմանվում է որպես հաճախության ապալարքի ինտեգրալ: Մեր խնդրում սկզբնական պայմաններն են $|a_2(-\infty)|^2 = 0$, $|a_1(-\infty)|^2 = 1$: Համակարգ (3.1)-ի երկու ինտեգրալներից առաջինը վերաբերում է մասնիկների քանակի պահպանմանը. $|a_1|^2 + 2|a_2|^2 = \text{const} = I_N$: Այսուհետ, հստակության համար, մենք կընդունենք՝ $I_N = 1$:

Ներկա հետազոտության մեջ մենք կենտրոնանում ենք ուժեղ փոխազդեցության դեպքի վրա, երբ ոչգծայնությունը առավելագույնս է արտահայտված: Ենթադրելով, որ դաշտի կոնֆիգուրացիաները կամայական են, մենք քննարկում ենք հնարավորինս ընդհանուր սահմանային դեպքեր: Պարզվում է, որ հնարավոր են երկու առանձին ռեժիմներ: Առաջին դեպքում, որը համապատասխանում է հաճախության ապալարքի մեծ արժեքներին և դաշտի բարձր ինտենսիվություններին, ատոմների անցումը դեպի մոլեկուլային կապված վիճակ ժամանակի ընթացքում տեղի է ունենում համարյա առանց տատանումների (երկու մոդաների բնակեցվածությունների միջև գրանցվում են միայն թույլ արտահայտված օսցիլյացիաներ): Հակառակը, փոքր ապալարքի ռեժիմում ատոմ-մոլեկուլային խառնուրդային համակարգի բնակեցվածությունների դինամիկայում դիտվում են Ռաբիի տիպի մեծ ամպլիտուդով տատանումներ: Այս երկու ռեժիմների

առանձնահատկությունները պարզաբանելու նպատակով մենք օգտվում ենք հատումներից զուրկ Ռոզեն-Ջեների մոդելից [2]

$$U(t) = \frac{U_0}{\text{ch}(t/\tau)}, \quad \delta_i(t) = 2\delta_1 \quad (3.2)$$

և մակարդակների հատում ունեցող Դեմկով-Կունիկեի քվադր-գծային առաջին մոդելից [3]

$$U(t) = \frac{U_0}{\text{ch}(t/\tau)}, \quad \delta_i(t) = 2\delta_1 \text{th}(t/\tau) \quad (3.3)$$

(առանց ընդհանրության կորստի մենք վերցնում ենք $\tau=1$): Մակարդակների բազմակի հատումներով մոդելները չեն դիտարկվում:

Նախկինում ցույց է տրվել, որ մուլեկուլային վիճակի $p(t) = |a_2|^2$ հավանականության դինամիկան նկարագրվում է երրորդ կարգի հետևյալ ոչգծային սովորական դիֆերենցիալ հավասարմամբ [4].

$$p''' - \left(\frac{\delta''}{\delta'} + 2 \frac{U'}{U} \right) p'' + \left[\delta_t^2 + 4U^2(1-3p) - \left(\frac{U'}{U} \right)_t + \frac{U'}{U} \left(\frac{\delta''}{\delta'} + \frac{U'}{U} \right) \right] p' + \frac{U^2}{2} \left(\frac{\delta''}{\delta'} - \frac{U'}{U} \right) (1-8p+12p^2) = 0 \quad (3.4)$$

Ինչպես երևում է, խնդրի ոչգծայնությունը որոշվում է $p(t)$ -ի ընթացիկ արժեքով: Հետևաբար, ուժեղ ոչգծայնության ռեժիմը կարելի է սահմանել որպես այնպիսի մի ռեժիմ, որում համակարգի էվոլյուցիայի ընթացքում $p(t)$ հավանականությունն ընդունում է (համեմատաբար) մեծ արժեքներ (նշենք, որ նորմավորման սահմանափակմա հետևանքով p -ն չի կարող գերազանցել $1/2$ -ը):

Հավասարում (3.4)-ը բավական խրթին է, այնուամենայնիվ, հաստատուն ամպլիտուդով դաշտի դեպքում այն նկատելիորեն պարզեցվում է: Բարեբախտաբար, փոփոխական ամպլիտուդով դաշտ պարունակող ցանկացած մոդելի համար (3.1) համակարգը կարող է բերվել դաշտի հաստատուն ամպլիտուդով՝ մի համարժեք համակարգի՝ անկախ փոփոխականի հետևյալ ձևափոխությամբ [5]

$$z(t) = \int_{t_0}^t \frac{U(t')}{U_0} dt' \quad (3.5)$$

(սովորաբար մենք ընտրում ենք $U_0 = \text{Max}[U(t)]$): Այս ձևափոխությունը (3.4) հավասարումը բերում է հետևյալ՝ շատ ավելի պարզ տեսքին.

$$p_{zz} - \frac{\delta_{zz}^*}{\delta_z^*} p_{zz} + [\delta_z^{*2} + 4U_0^2(1-3p)] p_z + \frac{U_0^2}{2} \frac{\delta_{zz}^*}{\delta_z^*} (1-8p+12p^2) = 0, \quad (3.6)$$

որտեղ արդյունավետ ապալարք δ_z^* -ը սահմանվում է որպես

$$\delta_z^*(z(t)) = \delta_t(t) \frac{U_0}{U(t)}. \quad (3.7)$$

Ոչգծային անդամները (3.6) հավասարման մեջ ուղիղ համեմատական են դաշտի U_0^2 ինտենսիվությանը: Հետևաբար, կարելի է ակնկալել, որ ուժեղ ոչգծայնության ռեժիմը համապատասխանում է դաշտի լարվածության մեծ արժեքներին, և, այսպիսով, ենթադրվում է, որ U_0^2 -ն մեծ պարամետր է: Ապա նշենք, որ մեծ արժեքներ կարող է ընդունել նաև δ_z^{*2} ֆունկցիան (օրինակ, Լանդաու-Ջեների մոդելում $\delta_z^{*2} \sim t^2$ [6]): Հետևաբար, ենթադրելով, որ (3.6) հավասարման մեջ որոշիչ անդամներ են հանդիսանում վերջին երկուսը, մենք, միառժամանակ անտեսելով առաջին երկուսը, կգանք առաջին կարգի հետևյալ ոչգծային հավասարմանը.

$$[\delta_z^{*2} + 4U_0^2(1-3p_0)] p_{0z} + \frac{U_0^2}{2} \frac{\delta_{zz}^*}{\delta_z^*} (1-8p_0+12p_0^2) = 0. \quad (3.8)$$

Այս հավասարումն ունի տրիվիալ ստացիոնար լուծումներ՝ $p_0=1/2$ և $p_0=1/6$, որոնք, ինչպես ցույց կտրվի ստորև, նշանակալի դեր են խաղում (3.6) հավասարման լուծման ասիմպտոտները որոշելիս:

Չնայած իր բարդությանը, սահմանային (3.8) հավասարումն ունի ճշգրիտ լուծում կամայական δ_z^* ֆունկցիայի համար: Իրոք, անկախ փոփոխականի համար հնարավոր է գտնել մի այնպիսի ձևափոխություն $z \rightarrow s$, որի շնորհիվ ոչգծային (3.8) հավասարումը բերվում է գծային հավասարման նոր s փոփոխականի համար, որն այժմ պիտի դիտարկվի որպես կախյալ փոփոխական, իսկ անկախ փոփոխականի դերը կստանան p_0 -ն: Սա տեղի է ունենում $s = U_0^2 / \delta_z^{*2}$ ընտրությամբ: Կատարելով մի շարք պարզ ձևափոխություններ, մենք գալիս ենք հետևյալ հավասարմանը.

$$\frac{U_0^2}{\delta_z^{*2}} = \frac{C + p_0(p_0 - 1/2)^2}{9(p_0 - 1/6)^2(p_0 - 1/2)^2}, \quad (3.9)$$

որտեղ C -ն հաստատուն է (գտնվում է սկզբնական պայմաններից): Այս հավասարումը բերում է կարևոր մի ընդհանուր եզրահանգման, այն է՝ մոլեկուլային վիճակի հավանականությունը հաճախության ռեզոնանսի հատման կետում ճշգրիտ

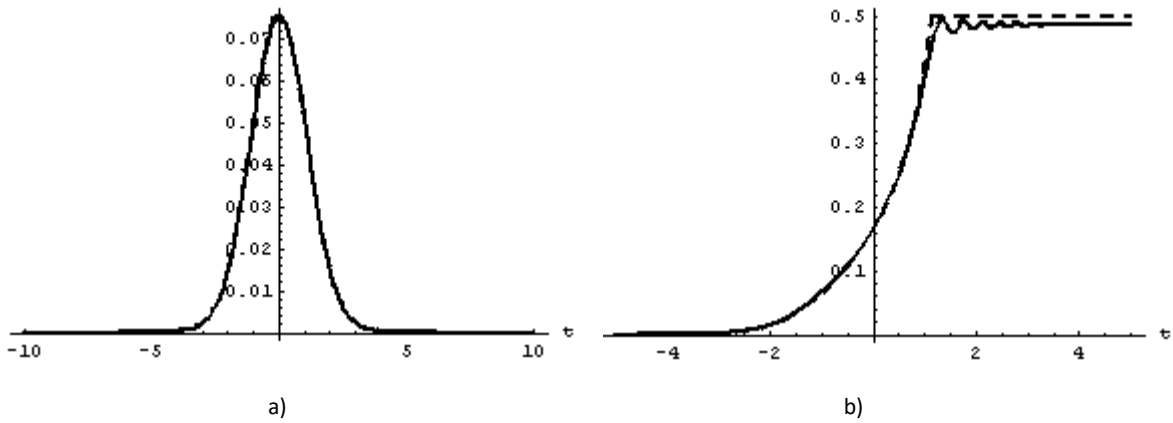
հավասար է $1/6$ -ի (սահմանային (3.8) հավասարման սահմանափակումների շրջանակներում): Դրանից բխում է, որ հատումներից զուրկ մոդելների համար մոլեկուլային վիճակի հավանականությունը չի կարող գերազանցել $1/6$ արժեքը, հետևաբար, ռեզոնանսով անցնելը հանդիսանում է անհրաժեշտ պայման նկատելի մոլեկուլային բնակեցվածություն ստանալու համար:

Թռուցիկ զննումը ցույց է տալիս, որ (3.9) հավասարման մեջ C հաստատունը գտնելու համար անհրաժեշտ է ուսումնասիրել δ_z^{*2} ֆունկցիայի վարքը $t \rightarrow -\infty$ տիրույթում: Դժվար չէ համոզվել, որ Ռոզեն-Չենների և Դեմկով-Կունիկեի առաջին (3.2)-(3.3) մոդելների համար տեղի ունի $\lim_{t \rightarrow -\infty} |\delta_z^*| = \infty$: Ներառելով նաև $p_0(t = -\infty) = 0$ սկզբնական պայմանը, ստանում ենք $C = 0$: Բայց նույնիսկ այս դեպքում p_0 -ն չի որոշվում միարժեք: Ճիշտ ընտրություն կատարելու համար անհրաժեշտ է p_0 -ն համեմատել ճշգրիտ (3.4) հավասարման թվային լուծման հետ: Արդյունքում ստացվում է, որ անհրաժեշտ է վերցնել (3.9) հավասարման լուծման հետևյալ ճյուղը.

$$p_0 = \frac{1}{6} + \frac{\delta_z^*}{18U_0} \left(\frac{\delta_z^*}{U_0} - S \sqrt{\left(\frac{\delta_z^*}{U_0} \right)^2 + 6} \right), \quad (3.10)$$

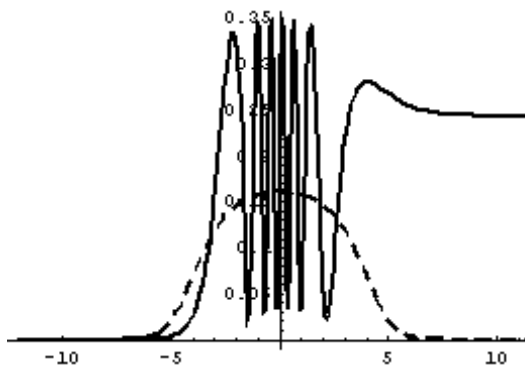
որտեղ
$$S = \operatorname{sgn} \left(\lim_{t \rightarrow -\infty} \delta_t(t) \right) \quad (3.11)$$

Նշենք, որ, եթե (3.10) սահմանային լուծումն իր էվոլյուցիայի ընթացքում գերազանցի $1/2$ գերազույն թույլատրելի արժեքը, ապա այն պետք է համադրվի $p_0 = 1/2$ տվյալ լուծման հետ: Սա տեղի է ունենում, օրինակ, Դեմկով-Կունիկեի առաջին մոդելի համար (տես Նկ. 3.1):



Նկ. 3.1. Մոլեկուլային վիճակի հավանականության կախվածությունը ժամանակից: Հոծ գիծը թվային լուծումն է, ընդհատ գիծը՝ (3.10) սահմանային լուծումը:

Ստացած (3.10) սահմանային լուծումը բավականին ճշգրիտ մոտավորություն է: Սա երևում է Նկ. 3.1-ից, որտեղ այս լուծումը համեմատվում է (3.4) հավասարման թվային լուծման հետ: Ավելին, այս լուծումը թույլ է տալիս անել գործնական արժեք ունեցող մի քանի ընդհանուր որակական եզրակացություններ:



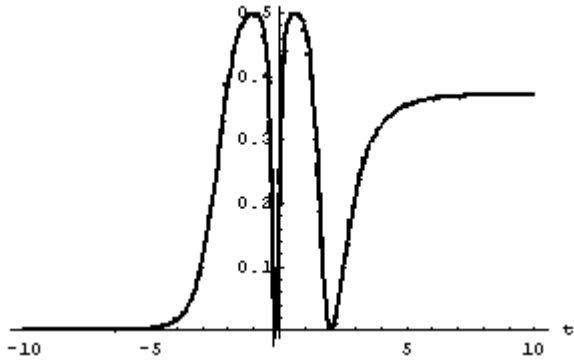
Նկ. 3.2. Մոլեկուլային վիճակի հավանականությունը Ռոզեն-Ջիների մոդելի դեպքում, երբ $U_0 = 10$, $\delta_1 = 0.2$: Հոծ գիծը թվային լուծումն է, ընդհատ գիծը՝ (3.10) սահմանային լուծումը:

Դիցուք, p_0 սահմանային լուծումը միշտ մնում է $1/2$ -ից փոքր, ինչը համարժեք է հետևյալ բանին. $\delta_i / U \leq \sqrt{2}$, եթե $S = -1$, և $\delta_i / U \geq -\sqrt{2}$, եթե $S = 1$: Այս դեպքում, եթե

$$\lim_{t \rightarrow -\infty} \delta_z^*(z(t)) = \lim_{t \rightarrow +\infty} \delta_z^*(z(t)), \quad (3.12)$$

այս համակարգը՝ փոխազդեցությունը ավարտվելուն պես, հայտնվում է իր սկզբնական մաքուր ատոմային վիճակում: Սա տեղի է ունենում, օրինակ, երբ արտաքին դաշտի կոնֆիգուրացիան որոշվում է Ռոզեն-Ջեների (3.2) մոդելով: Դիցուք դրա հետ

մեկտեղ $t = +\infty$ -ի մոտակայքում δ_z^* -ն մնում է սահմանափակ՝ $U_0 = \max[U(t)]$ ապալարքի և Ռաբիի հաճախության ցանկացած վերջավոր արժեքների համար: Այս պարագայում, -ը անվերջությանը ձգտեցնելու դեպքում, վերջնական անցման



Նկ. 3.3. Մոլեկուլային վիճակի հավանականությունը Ռոզեն-Ջիների մոդելի դեպքում: Հոծ գիծը թվային լուծումն է, ընդհատ գիծը՝ (3.14) մոտավոր լուծումը: $U_0 = 7.2$, $\delta_1 = 0.004$, $\tilde{\delta}_0 \approx 0.0524$.

նպատակով մոտավոր լուծումները համեմատվում են թվայինների հետ: Վերլուծությունը ցույց է տալիս, որ, δ_1 -ն և U_0 -ն փոքրացնելիս, սահմանային լուծման տարբերությունը թվայինից ուժեղանում է (Նկ. 3.2). Վերջնական եզրակացությունն այն է, որ (3.10) բանաձևով տրվող լուծումը հանդիսանում է լավ մոտավորություն $U_0 \gg 1$ և $\delta_1 > 1$ պարամետրական տիրույթների համար:

Այսպիսով, $U_0 \gg 1$ և $\delta_1 > 1$ պարամետրերի փոփոխման տիրույթների դեպքում մոտավոր լուծում կառուցելու համար անհրաժեշտ է մշակել այլ մոտեցում: Թվային արդյունքների գնումը ցույց է տալիս, որ այս իրավիճակում համակարգի վարքը շատ ավելի «անկայուն» է. մոլեկուլային վիճակի հավանականության ժամանակային էվոյուցիան ի հայտ է բերում մեծ ամպլիտուդով և փոփոխվող հաճախությամբ օսցիլյացիաներ: Այնպես որ այս սահմանային դեպքը հանդիսանում է ավելի բարդ խնդիր: Այս դեպքի համար ընդունելի մոտավորություն կառուցվում է, ֆակտորիզացնելով մոլեկուլային վիճակի համար գրված երրորդ կարգի ճշգրիտ (3.6) հավասարումը հետևյալ կերպ.

$$\left(\frac{d}{dz} - \frac{\delta_{zz}^*}{\delta_z^*} \right) \left(p_{zz} - \frac{U_0^2}{2} (1 - 8p + 12p^2) + \delta_z^{*2} p \right) - \delta_z^* \delta_{zz}^* p = 0. \quad (3.13)$$

Փոքր ապալարքների դեպքում այս հավասարման վերջին անդամը բավականին փոքր է: Ավելին, պետք է նկատի ունենալ, որ համակարգի դինամիկայում հիմնական փոփոխությունը տեղի է ունենում ռեզոնանսի շրջակայքում: Ուրեմն, վերջին անդամի

հավանականությունը կձգտի 1/6 -ի: Այս արդյունքն ապացույց է այն բանի, որ դաշտի բարձր ինտենսիվություններ կիրառելը միշտ չէ, որ արդյունավետ է մոլեկուլների մեծ վերջնական բնակեցվածություն ստանալու համար:

Ռոզեն-Ջեների և Դեմկով-Կունիկեի առաջին մոդելների սահմանային լուծումների ընդհանուր բնութագիրն է՝ նրանց ոչտատանոդական վարքը: Նման վարք ապահովող պայմանները գտնելու

դերակատարումը (3.13) հավասարման մեջ բավականին սահմանափակ է և այն կարելի է անտեսել: Ապա, մեկ անգամ ինտեգրելով կրճատված հավասարումը, $z=0$ կետի շուրջ մենք վերածում ենք դրա գործակիցները աստիճանային շարքի և պահպանում միայն զրոյական կարգի անդամները: Արդյունքում գալիս ենք հետևյալ մոտավոր լուծմանը՝ գրված Յակոբիի էլիպտիկ սինուսի տեսքով [7].

$$\tilde{p} = p_1 \operatorname{sn}^2[\sqrt{p_2} U_0(z - z_0); m], \quad (3.14)$$

$$p_{1,2} = \frac{1}{2} \left(\frac{\delta_0^{*2}}{4U_0^2} + 1 \right) \mp \sqrt{\frac{1}{4} \left(\frac{\delta_0^{*2}}{4U_0^2} + 1 \right)^2 - \frac{1}{4}}, \quad \delta_0^* = \lim_{z \rightarrow 0} \delta_z^*, \quad m = \frac{p_1}{p_2}. \quad (3.15)$$

Ֆունկցիա (3.14)-ը պարբերական է հետևյալ պարբերությամբ

$$T(m) = \frac{\pi}{\sqrt{p_2} U_0} \cdot {}_2F_1(1/2, 1/2; 1; m). \quad (3.16)$$

Ստացված լուծման համեմատությունը թվայինի հետ ցույց է տալիս, որ դրանք բավական լավ են համընկնում միայն փոխազդեցության սկզբում: Բայց, (3.14)-(3.15) լուծման մեջ ներգրավված δ_0^* պարամետրը պատշաճ կերպով կարգավորելով, արդյունքը հնարավոր է էապես լավացնել: Նախ, թվային եղանակով մենք ցույց ենք տալիս, որ միշտ կարելի գտնել պարամետրի այնպիսի արժեք $\delta_0^* = \tilde{\delta}_0$, որի համար մոտավոր լուծումը համարյա կատարյալ կերպով համընկնում է թվայինի հետ (Նկ. 3.3): Ապա, կիրառելով Լինշտեդտ-Պուանկարեի մեթոդը [8], $\tilde{\delta}_0$ -ի համար հնարավոր է գտնել մի անալիտիկ արտահայտություն՝ ապալարքից և Ռաբիի հաճախությունից որպես պարամետրերից կախված ֆունկցիայի տեսքով (մասնավորապես, Ռոզեն-Ջեների մոդելի համար դա ստացվում է $\tilde{\delta}_0 = 1.2U_0\delta_1$):

Լուծում (3.14)-ը նման է Ռաբիի ոչգծային լուծմանը [9]: Անմիջապես երևում է, որ այն ունի վերսալ տեսքի է՝ ցանկացած ձևի իմպուլսների և ապալարքի մոդուլյացիոն ֆունկցիաների համար (լազերային դաշտի կոնֆիգուրացիայի փոփոխումը ազդում է միայն $\tilde{\delta}_0$ -ի համար գրված արտահայտության և դրա արգումենտի վրա, ինքը՝ ֆունկցիան թողնելով անփոփոխ): Հետևաբար, այս ռեժիմում համակարգի որակական վարքը ավելի քիչ է զգայուն լազերային գրգռման կոնկրետ տեսքի նկատմամբ: Մեկ այլ հետաքրքիր առանձնահատկություն է մոլեկուլային վիճակի հավանականության տատանումների հաճախության թույլ կախվածությունը

լազերային դաշտի մոդուլյացիայի պարամետրերից [տես (3.16) հավասարումը]: Մասնավորապես, հաճախության կախվածությունը դաշտի ամպլիտուդից ոչգծային է, և ավելին՝ տատանողական:

Այսպիսով, մենք վերլուծեցինք ատոմական բոզե-էյնշտեյնյան կոնդենսատի երկմոդ միագույն ֆոտոասոցիացիայի ուժեղ փոխազդեցության սահմանը ($U_0 \gg 1$) և մշակեցինք ընդհանուր ռազմավարություն՝ ցանկացած տեսքի իմպուլսներով և ապալարքի մոդուլյացիոն ֆունկցիաներով խնդիր լուծելու համար: Ցույց է տրված, որ գոյություն ունեն համակարգի դինամիկայի երկու առանձին սցենարներ՝ մեծ և փոքր ապալարքներով ռեժիմներ: Մեծ ապալարքների ռեժիմում ֆոտոասոցիացիոն պրոցեսի հիմնական առանձնահատկությունն է՝ համարյա ոչտատանողական վարքը, այսինքն, ատոմական և մոլեկուլային բնակեցվածությունների միջև գրանցվում են միայն թույլ արտահայտված օսցիլյացիաներ: Այս ռեժիմի համար բավարար մոտարկում է ոչտատանողական (3.10) սահմանային լուծումը: Հակառակը, փոքր ապալարքների ռեժիմում համակարգի էվոլյուցիան էապես տատանողական է՝ այս դեպքում մոտավոր լուծումը արտահայտվում է Յակոբի-սինուս օսցիլյացիոն ֆունկցիայով [հավասարում (3.14)]: Տատանումների առաջացման պատճառները կարելի որակապես հասկանալ, դիտարկելով ուսումնասիրվող (3.2)-(3.3) մոդելներին բնորոշ փոխազդեցության արդյունավետ ժամանակը: Ապալարքի δ_1 պարամետրը մեծ լինելու դեպքում՝ $t=0$ կետից հեռու ժամանակային տիրույթներում, որտեղ դաշտի ամպլիտուդը մոտավորապես զրո է, փոխազդեցությունը բավական թույլ է և համակարգը նկատելիորեն չի փոխում իր վիճակը: Սակայն δ_1 -ի փոքր արժեքների դեպքում փոխազդեցության արդյունավետ ժամանակը, որն ուղիղ համեմատական է $1/\delta_1$ -ին, մեծ է, հետևաբար, այս ժամանակահատվածում համակարգը նկատելիորեն փոխում է իր վիճակը և, չնայած Ռաբիի հաճախությունը փոքր լինելուն, սկսվում են մեծ ամպլիտուդով Ռաբիի տիպի տատանումներ:

Եզրակացություն

Այսպիսով, դիտարկված է Դեմկով-Կունիկեի սխեմայով (ռեզոնանսի քվազի-գծային հատմամբ) ընթացող՝ գերսառն ատոմներից ֆոտո-կամ մագնիսական ասոցիացիայի եղանակով սառը մոլեկուլների ստացման պրոցեսը: Դեմկով-Կունիկեի մոդելը, որը բնութագրվում է վերջավոր տևողություն ունեցող զանգակաձև իմպուլսով և վերջավոր տիրույթում փոփոխվող հաճախության ապալարքով (եթե կիրառվում է ֆոտո-ասոցիացիայի տերմինաբանությունը), հանդիսանում է դաշտի կոնֆիգուրացիայի փորձնականորեն իրագործելի տարբերակ, որը զերծ է Լանդաու-Ջեների մոդելում առկա հայտնի թերություններից (այսինքն, թերմերի հատման ժամանակային վարքը չի նկարագրվում գծային օրենքով ժամանակի փոփոխման ողջ տիրույթում, այլ ունի փոփոխման վերջավոր տիրույթ):

Անցումների հավանականությունը $t \rightarrow +\infty$ սահմանում քննարկելիս, մեր կողմից առաջարկված է խորանարդային բազմանդամային մի հավասարում, որը կիրառելի է Ռաբիի հաճախության կամայական արժեքի դեպքում, եթե փոխազդեցության ընթացքում պահպանվում է մեծ ապալարքի ռեժիմը: Այսպիսով, այս խորանարդային հավասարումը ռեզոնանսի արագ անցման ռեժիմում՝ նախորդ աշխատություններում առանձնացրած թույլ, չափավոր և ուժեղ կապի սահմանային վարքագծերի համար առաջարկում է միասնական նկարագրություն: Ուշգրավ է, որ այդ հավասարումը մեկ կարգով բարելավում է նախորդ արդյունքների ճշգրտությունը:

Առաջարկված մոտավորությունը ցույց է տալիս, որ, ի տարբերություն գծային դեպքի, ոչգծային դեպքում ռեզոնանսի հատման Դեմկով-Կունիկեի սխեմայով իրականացվող պրոցեսով անհնար է բոլոր ատոմներն ամբողջությամբ մոլեկուլների փոխակերպել:

Գրականություն

1. Kohler, T., Goral, K. and Julienne P. S., “Production of cold molecules via magnetically tunable Feshbach resonances”, *Rev. Mod. Phys.* 78, 1311-1361 (2006).
2. Chin, C., Grimm, R., Julienne, P. and Tiesinga, E., “Feshbach resonances in ultracold gases”, *Rev. Mod. Phys.* 82, 1225-1286 (2010).
3. H. Nakamura, [Nonadiabatic Transition], World Scientific, Singapore, 2002.
4. Stenholm, S., “Topics in adiabaticity”, *Laser Physics* 15(10), 1421-1427 (2005).
5. Landau, L., “Zur Theorie der Energieübertragung”, *Phys. Z. Sowjetunion* 2, 46-51, (1932).
6. Zener, C., “Non-adiabatic crossing of energy levels”, *Proc. R. Soc. London A*, 137, 696-702, (1932).
7. Witthaut, D., Graefe, E. M., and Korsch, H. J., “Towards a generalized Landau-Zener formula for an interacting Bose-Einstein condensate in a two-level system”, *Phys. Rev. A* 73, 063609 (2006).
8. Liu, J., Fu, L., Ou, B.-Y., Chen, S.-G., Choi, D.-Il, Wu, B., and Niu, Q., “Theory of nonlinear Landau-Zener tunneling”, *Phys. Rev. A* 66, 023404 (2002).
9. Ishkhanyan, A., Mackie, M., Carmichael, A., Gould, P. L., and Javanainen, J., “Landau-Zener problem for trilinear systems”, *Phys. Rev. A* 69, 043612 (2004).
10. Altman, E. and Vishwanath, A., “Dynamic Projection on Feshbach Molecules: A Probe of Pairing and Phase Fluctuations”, *Phys. Rev. Lett.* 95, 110404 (2005).
11. Barankov, R. A. and Levitov, L. S., “Dynamical projection of atoms to Feshbach molecules at strong coupling”, *cond-mat/0506323* (2005).
12. Ishkhanyan, A., Javanainen J., and Nakamura, H., “A basic two-state model for bosonic field theories with a cubic nonlinearity”, *J. Phys. A* 38, 3505-3516 (2005); Ishkhanyan, A., Javanainen, J., and Nakamura, H., “LZ transition in photoassociation of cold atoms: strong interaction limit”, *J. Phys. A* 39, 14887-14893 (2006).
13. Dobrescu, B. E. and Pokrovsky, V. L., “Production efficiency of Feshbach molecules in fermion systems”, *Phys. Lett. A* 350, 154-158 (2006).
14. Tikhonenkov, I., Pazy, E., Band, Y. B., Fleischhauer, M., and Vardi, A., “Many-body effects on adiabatic passage through Feshbach resonances”, *Phys. Rev. A* 73, 043605 (2006).
15. Altland, A. and Gurarie, V., “Many body generalization of the Landau-Zener problem”, *Phys. Rev. Lett.* 100, 063602 (2008).
16. Itin A. P. and Törmä, P., “Dynamics of a many-particle Landau-Zener model: Inverse sweep”, *Phys. Rev. A* 79, 055602 (2009).
17. Ishkhanyan, A.M., “LZ transition in quadratic-nonlinear two-state systems”, *Phys. Rev. A* 81, 055601 (2010).
18. Ishkhanyan, A.M., “Generalized formula for the Landau-Zener transition in interacting Bose-Einstein condensates”, *Eur. Phys. Lett.* 90, 30007 (2010).
19. Demkov Yu., N. and Kunike, M., *Vestn. Leningr. Univ. Fis. Khim.* 16, 39 (1969).
20. Suominen K.-A. and Garraway, B. M., “Population transfer in a level-crossing model with two time scales”, *Phys. Rev. A* 45, 374-386 (1992).
21. Ishkhanyan, A., Joulakian, B., and Suominen, K.-A., “Two strong nonlinearity regimes in cold molecule formation”, *Eur. Phys. J. D* 48, 397-404 (2008).

22. Sokhoyan, R., Joulakian B., and Ishkhanyan, A., “Strong nonlinearity regimes of two-mode photoassociation of atomic Bose-condensates”, *J. Contemp. Physics (Armenian Ac. Sci.)*, 41 (3), 23-28 (2006).
23. Javanainen, J. and Mackie, M., “Coherent photoassociation of a BEC”, *Phys. Rev. A* 59, R3186 (1999).
24. Drummond, P.D., Kheruntsyan, K.V., and He, H., “Coherent Molecular Solitons in Bose-Einstein Condensates”, *Phys. Rev. Lett.* 81, 3055-3058 (1998).
25. Armstrong, J. A., Bloembergen, N., Ducuing, J., and Pershan, P. S., “Interaction between light waves in a nonlinear dielectric”, *Phys. Rev.* 127, 1916-1939 (1962).
26. Ghazaryan, V. R., “First Demkov-Kunike model in the theory of photoassociation of cold atoms”, *J. Contemp. Phys. (Armenian Ac. Sci.)* 40(1), 14-18 (2005).
27. Sokhoyan, R., Azizbekyan, H., Leroy, C., and Ishkhanyan, A., “Demkov–Kunike Model for Cold Atom Association: Weak Interaction Regime”, *J. Contemp. Phys. (Armenian Ac. Sci.)* 44 (6), 272-277 (2009).
28. Sokhoyan, R., “Demkov-Kunike model in cold molecule formation: the fast resonance sweep regime of the strong interaction limit”, *J. Contemp. Phys. (Armenian Ac. Sci.)* 45(2), 51-57 (2010).
29. Azizbekyan, H., Shahverdyan, T., Ishkhanyan, H., Sokhoyan, R., and Ishkhanyan, A., “A physically realizable term-crossing model for cold atom association”, *Proc. Conf. Laser Physics-2009, Ashtarak*, 54-57 (2010).